

ارائه روشی مقاوم جهت ترکیب داده در سیستم تلفیقی GPS/SDINS و مقایسه آن با فیلتر کالمن توسعه یافته در شرایط بحرانی

علی اسدیان^۱، بهزاد مشیری^۲، علی خاکی صدیق^۳

^۱ فارغ‌التحصیل دانشکده برق و کامپیوتر، گروه کنترل، دانشگاه تهران، a.asadian@ece.ut.ac.ir

^۲ قطب علمی کنترل و پردازش هوشمند، دانشکده برق و کامپیوتر، دانشگاه تهران، moshiri@ut.ac.ir

^۳ دانشکده مهندسی برق، دانشگاه خواجه نصیرالدین طوسی تهران، sedigh@eedt.kntu.ac.ir

چکیده: در این مقاله روشی مقاوم و مبتنی بر فیلتر ذره‌ای برای مساله تخمین حالت در سیستم تلفیقی GPS/SDINS ارائه می‌شود. روش جاافتاده و کلاسیکی چون فیلتر کالمن توسعه یافته که مبتنی بر خطی‌سازی مدل می‌باشد، در ناوبری زمینی در موارد بحرانی مانند محیط‌های شهری که کاهش تعداد ماهواره‌های تحت رویت از حد مجاز لازم بدلیل موانع فیزیکی مختلف کاملاً محتمل است، به سرعت واگرا می‌شود، درحالی‌که با بکارگیری روش معرفی شده در این مقاله می‌توان ناوبری را با دقت نسبتاً مطلوبی در شرایط نامساعد رویت انجام داد.

کلمات کلیدی: فیلتر ذره‌ای، فیلتر کالمن توسعه یافته، ناوبری زمینی، قطع ارتباط ماهواره‌ای، سیستم تلفیقی GPS/SDINS

Abstract: In this paper, a robust state space estimation technique based on particle Kalman filters is presented for GPS/SDINS. The well known extended Kalman filters can fail under critical condition such as loss of satellite data in urban environment. This is due to physical obstacles present in such environments and leads to Kalman filter divergence. It is shown in this paper that with the proposed technique, this problem is mainly overcome.

Keywords: Particle Filter, Extended Kalman Filter,

کنترل و تئوری تخمین و برخی دیگر نیز بر پایه روش‌های نوین هوشمند پایه‌گذاری شده‌اند [۲].

۱- مقدمه

بدیهی است که فیلتر کالمن برای سیستم‌های خطی با نویز گوسی جواب بهینه است، ولی در غیر اینصورت فیلتر کالمن توسعه یافته بعنوان جایگزینی مناسب برای فیلتر کالمن استاندارد، روشی کلاسیک در حل چنین مساله است. در [۷-۱۰] در این زمینه بررسی‌هایی صورت گرفته است. جدا از مساله زیربهنگی^۲ فیلتر کالمن توسعه یافته در یک سیستم غیرخطی و از جمله سیستم تلفیقی GPS/SDINS، معضل قطع ارتباط ماهواره‌ای در ناوبری زمینی و در کاربردهای شهری، امری اجتناب ناپذیر است که از نقاط ضعف فیلتر کالمن محسوب می‌شود [۱۶].

امروزه سیستم تلفیقی GPS/SDINS به دلیل بالا بودن دقت و قابلیت اعتماد کاربرد وسیعی در سیستم‌های ناوبری پیدا کرده است [۱]. منتهی غیرخطی بودن مدل دینامیکی سیستم فوق‌الذکر بهمراه پیچیدگی‌های جانبی آن از جمله وجود منابع مختلف خطا، مساله تخمین حالت و ناوبری دقیق را دچار مشکل می‌کند. آنطور که از مطالعه منابع مختلف برآمد، رایج‌ترین روش جهت ترکیب اطلاعات در سیستم ناوبری، استفاده از فیلتر کالمن و مشتقات آن مانند فیلتر کالمن توسعه یافته می‌باشد. بر این اساس روش فوق به عنوان رویکردی متداول و یک محک^۱ کلی جهت مقایسه عملکرد سایر روش‌ها، مطرح می‌باشد. برخی از این روش‌های ترکیب داده بر اساس تئوری‌های کلاسیک علم

² Suboptimality

¹ Benchmark

تشعشع، تاخیر آتمسفریک، خطای چند مسیری، خطای ناشی از اختلاف ساعت و همچنین نویز گیرنده، چند عامل موثر در کاهش دقت این سیستم ناوبری می باشد. در عوض در حالت عادی خطای آن حتی برای زمان های طولانی محدود است [۳]. در نتیجه به منظور افزایش صحت ناوبری و قابلیت اعتماد سیستم و رفع معایب هر سیستم توسط دیگری، استفاده از هر دو نوع سیستم ناوبری همراه با یک الگوریتم مناسب ترکیب توصیه می شود.

در [۳-۶] به مدل های دینامیکی جامعی برای سیستم فوق اشاره شده است. معادلات کلی حاکم بر یک SDINS به فرم زیر است:

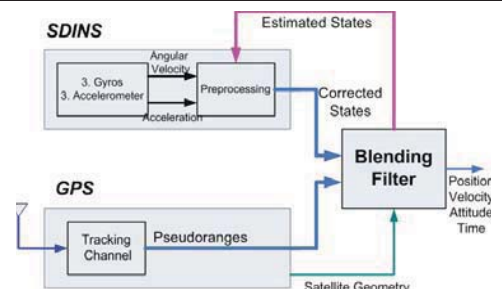
$$\begin{pmatrix} \dot{r}^n \\ \dot{v}^n \\ \dot{C}_b^n \end{pmatrix} = \begin{pmatrix} v^n \\ C_b^n f^b - (2\Omega_{ie}^n + \Omega_{en}^n)v^n + g^n \\ C_b^n (\Omega_{ib}^b - \Omega_{en}^b) \end{pmatrix} \quad (1)$$

در رابطه بالا، r^n و v^n بترتیب بردار مکان و سرعت در دستگاه ناوبری و C_b^n ماتریس تبدیل از دستگاه بدنی به ناوبری می باشد. f^b نیز بردار نیرو در مختصات بدنی و g^n شتاب جاذبه است. ماتریس $\Omega_{km}^l = \Omega(\omega_{km}^l)$ نیز سرعت نسبی دستگاه m نسبت به دستگاه k است که در چارچوب مختصاتی دستگاه l بیان می شود. ω_{ie}^n سرعت زاویه ای زمین نسبت به دستگاه اینرسی در دستگاه ناوبری می باشد. خروجی سیستم اندازه گیر اینرشیا که مقادیر شتاب ها و سرعت های زاویه ای می باشند، در حکم ورودی برای مجموعه معادلات بالا می باشند. پس حل مساله ناوبری اینرشیا به معنی حل معادلات دیفرانسیل کلی (۱) با فرض داشتن مقادیر لحظه ای f^b و ω_{ib}^b و همچنین یک شرط اولیه برای مساله می باشد.

آنطور که در مراجع مختلف مشاهده شد، بدلیل پیچیدگی نسبی مدل واقعی سیستم تلفیقی، عموماً مدل های دینامیکی ساده ای برای پیاده سازی الگوریتم ترکیب بکار می رود [۹-۱۰]، که این امر تاحدی جامعیت روش های ارائه شده را زیر سوال می برد لذا در این مقاله سعی شد تا حد امکان مدل کاملی را منظور کرد. در نهایت از فرم باز شده معادله (۱)، به شرح زیر استفاده شد [۱۴] و [۱۶].

جدول ۱: پارامترهای بیضی گون مینا در دستگاه مختصاتی WGS84

| مقدار | نام پارامتر |
|---|-------------------------------|
| ۶۳۷۸/۱۳۷ کیلومتر | a (نصف قطر بزرگ) |
| ۶۳۵۶/۷۵۲ کیلومتر | b (نصف قطر کوچک) |
| $10^{-3} \times 7/292115$ رادیان بر ثانیه | ω_{ie} (سرعت زاویه ای) |



شکل ۱: بلوک دیاگرام کلی ترکیب داده در سیستم تلفیقی GPS/SDINS

در این مقاله روشی نوین برای بهینه سازی و تخمین در مواردی که با سیستم هایی غیر خطی و یا نویز غیر گوسی مواجهیم، ارائه می شود. ایده اصلی این روش استفاده از نظریه فیلترهای ذره ای و بدست آوردن تابع چگالی احتمال مشروط بردار حالت با توجه به بردار اندازه گیری ها و استفاده از تئوری بیز می باشد. در نتیجه می توان تخمین بهینه ای از هر تابع دلخواه از عناصر بردار حالت بر اساس معیار حداقل بودن واریانس خطا بدست آورد. بلوک دیاگرام کلی چنین سیستمی در حالت ترکیب داده متمرکز ۴ در شکل (۱) نمایش داده شده است که اساس کار ما نیز قرار خواهد گرفت. بخش مهم این دیاگرام، بلوک ترکیب و یا تخمین گر می باشد که می تواند هریک از دو فیلتر فوق الذکر فرض شود که موضوع اصلی این فعالیت پژوهشی می باشد.

۲- معرفی سیستم تلفیقی GPS/SDINS

سیستم های ناوبری به دو دسته کلی مکان یاب مانند سیستم ماهواره ای GPS و تعیین موقعیت اینرسی یا INS تقسیم می شوند. سیستم INS از جمله دقیق ترین و امن ترین سیستم های ناوبری است چراکه بدون هیچ نوع دریافت و ارسال سیگنال مخابراتی تنها با اندازه گیری نیروی وارد بر جسم و سرعت زاویه ای مربوطه، موقعیت و وضعیت را در هر لحظه تعیین می کند. عیب آن نیز این است که خطای ناوبری آن با گذشت زمان با توجه به بایاس اولیه بطور تصاعدی افزایش می یابد و در زمان های طولانی موجب انحراف قابل توجه جسم متحرک می شود.

از طرفی سیستم GPS به علت ارتباط مخابراتی با دنیای خارج، راحت می تواند توسط گردانندگان سیستم مخابراتی مورد اغتشاش واقع شود. پهنای باند آن پایین بوده و مسائلی چون تداخلات ناشی از

³ Particle Filters (PFs)

⁴ Centralized Data Fusion

⁵ World Geodetic System

با صرف نظر از اثر تغییرات شتاب جاذبه زمین، در نهایت مدل دینامیکی INS توسط روابط (۷-۱۰) بیان می‌شود. در این روابط g شتاب جاذبه، $(\tilde{a}_u \tilde{a}_v \tilde{a}_w)^T$ مقادیر اندازه‌گیری شده توسط سه شتاب‌سنج و $(b_u b_v b_w)^T$ بایاس اولیه آن می‌باشد. $W_t^{b_{acc}}$ و $W_t^{b_{gyro}}$ نیز فرآیندهای تصادفی وینر با متوسط صفر و واریانس مناسب می‌باشند.

$$d \begin{pmatrix} \phi \\ \lambda \\ h \end{pmatrix} = \begin{pmatrix} \frac{1}{R_\phi + h} & 0 & 0 \\ 0 & \frac{1}{(R_\lambda + h) \cos(\phi)} & 0 \\ 0 & 0 & -1 \end{pmatrix} \begin{pmatrix} V_N \\ V_E \\ V_D \end{pmatrix} dt$$

$$d \begin{pmatrix} V_N \\ V_E \\ V_D \end{pmatrix} = \begin{pmatrix} \frac{-V_E^2 \tan(\phi)}{R_\lambda + h} - 2\omega_{ie} \sin(\phi) V_E + \frac{V_N V_D}{R_\phi + h} \\ \frac{V_E V_N \tan(\phi)}{R_\phi + h} + \omega_{ie} \{\sin(\phi) V_N + 2 \cos(\phi) V_D\} + \frac{V_E V_D}{R_\lambda + h} \\ \frac{-V_N^2}{R_\phi + h} - 2\omega_{ie} \cos(\phi) V_E - \frac{V_E^2}{R_\lambda + h} \end{pmatrix} dt$$

$$+ R_{b2g} \left\{ \begin{pmatrix} \tilde{a}_u \\ \tilde{a}_v \\ \tilde{a}_w \end{pmatrix} + \begin{pmatrix} b_u \\ b_v \\ b_w \end{pmatrix} + \begin{pmatrix} 0 \\ 0 \\ g \end{pmatrix} \right\} dt + dW_t^{b_{acc}}$$

$$d \begin{pmatrix} b_u \\ b_v \\ b_w \end{pmatrix} = -a_{acc} \begin{pmatrix} b_u \\ b_v \\ b_w \end{pmatrix} dt + dW_t^{b_{acc}}$$

$$d \begin{pmatrix} b_p \\ b_q \\ b_r \end{pmatrix} = -a_{gyro} \begin{pmatrix} b_p \\ b_q \\ b_r \end{pmatrix} dt + dW_t^{b_{gyro}} \quad (7-10)$$

مدلسازی خطای ساعت: مدل مربوط به خطای ساعت گیرنده یعنی δ_t به صورت انتگرال یک فرآیند تصادفی x_t بیان می‌شود. W_t^x نیز یک فرآیند وینر با متوسط صفر و واریانس σ_w^2 می‌باشد.

$$dx_t = -a_{clock} x_t dt + dW_t^x \quad (11)$$

$$d\delta_t = x_t dt \quad (12)$$

مدلسازی تاخیر آتمسفریک: جهت مدلسازی خطای تروپوسفریک به عنوان منبع اصلی خطای سیستم GPS که قابل مدلسازی بوده و عموماً غیرقابل حذف می‌باشد، از مدل ساده شده گود-گودمن^۸ و معادله (۱۳)

| | |
|--|----------------------|
| | دوران زمین) |
| $\frac{a-b}{a} = 3.3528113 \times 10^{-5}$ | f (میزان تخت بودن) |
| $\sqrt{f(1-f)} = 0.05781$ | e (خروج از مرکز) |

$$\begin{pmatrix} V_N \\ V_E \\ V_D \end{pmatrix} = \begin{pmatrix} (R_\phi + h)\dot{\phi} \\ (R_\lambda + h)\cos(\phi)\dot{\lambda} \\ -\dot{h} \end{pmatrix} \quad (2)$$

$$R_\lambda = \frac{a(1-e^2)}{\sqrt{\{1-e^2 \sin^2(\phi)\}^3}} \quad (3)$$

$$R_\phi = \frac{a}{\sqrt{1-e^2 \sin^2(\phi)}} \quad (4)$$

عموماً مکان جسم بر حسب پارامترهای λ (طول جغرافیایی)، ϕ (عرض جغرافیایی) و h (ارتفاع) بیان می‌شود. پارامترهای بیضی‌گون مینا جهت مدل کردن کره زمین در جدول (۱) آمده است. سرعت جسم متحرک نیز معمولاً در دستگاه مختصات محلی NED^۶ بیان می‌شود. رابطه بین بردار سرعت و پارامترهای جغرافیایی به صورت روابط (۲-۴) است. INS موردنظر در اینجا از نوع SDINS یعنی بدون صفحه پایدارکننده^۷ است و اندازه‌گیری‌های سه شتاب‌سنج و سه ژيروسکوپ نسبت به بدنه واحد INS انجام می‌شود. ماتریس تبدیل بین این مختصات بدنه و مختصات محلی NED، در معادله دیرفرانسیل (۵) صدق می‌کند:

$$dR_{b2g} = R_{b2g} \begin{pmatrix} 0 & -r & q \\ r & 0 & -p \\ -q & p & 0 \end{pmatrix} dt \quad (5)$$

$$\omega_{gb}^b = \begin{pmatrix} p \\ q \\ r \end{pmatrix} = \begin{pmatrix} \tilde{p} \\ \tilde{q} \\ \tilde{r} \end{pmatrix} + \begin{pmatrix} b_p \\ b_q \\ b_r \end{pmatrix} - R_{g2b} \begin{pmatrix} \omega_{ie} \cos(\phi) + \frac{V_E}{R_\lambda + h} \\ -\frac{V_N}{R_\phi + h} \\ -\omega_{ie} \sin(\phi) + \frac{V_E \tan(\phi)}{R_\lambda + h} \end{pmatrix} \quad (6)$$

بردار سرعت زاویه‌ای جسم متحرک در مختصات بدنه نیز یعنی: معادله $\omega_{gb}^b = (p \ q \ r)^T$ در معادله (۶) صدق می‌کند که در این معادله $(\tilde{p} \ \tilde{q} \ \tilde{r})^T$ مقادیر اندازه‌گیری شده توسط ژيروسکوپها و $(b_p \ b_q \ b_r)^T$ بایاس اولیه مربوطه می‌باشد.

⁸ Goad & Goodman

⁶ North East Down
⁷ Strapdown INS

مختصاتی^۹ ECEF می‌باشد. جهت حل مساله ناهمزمانی داده‌های دو سیستم ناوبری نیز از یک درونبایی خطی ساده استفاده شد [۸] و [۱۶]. توجه شود عموماً برای تخمین بردار حالت بر اساس اندازه‌گیری شبه‌فاصله‌ها با کمک روشی غیرهوشمند، در هر لحظه حداقل باید ۴ ماهواره قابل رویت باشد. برای افزایش دقت ناوبری نیز باید بیش از این تعداد یعنی مثلاً ۵ ماهواره در هر لحظه برای گیرنده قابل رویت باشد. در ناوبری شهری در حالات بحرانی، موانع طبیعی و یا غیر طبیعی ممکن است مانع از رویت مناسب و حتی کاهش تعداد ماهواره‌های تحت رویت شود. این امر متناظر با عبور وسیله متحرک از جلوی ساختمانهای بلند، زیر پل‌ها و یا داخل تونل‌ها و یا اصولاً وجود هر نوع مانع فیزیکی که موجب تضعیف و یا قطع ارتباط مخابراتی گیرنده GPS نصب شده بر روی وسیله نقلیه با هریک از ماهواره‌ها گردد، می‌باشد.

این قطع ارتباط ماهواره‌ای طبق [۸]، منجر به میل کردن فاکتورهای هندسی تعیین موقعیت به سمت بی‌نهایت و واگرایی سریع فیلتر کالمن توسعه یافته خواهد شد. بدیهی می‌باشد که شاخص فوق یک پارامتر مهم جهت ارزیابی میزان کارایی الگوریتم ترکیب داده بشمار می‌رود و ارائه یک روش مقاوم نسبت به معضل فوق، در امر ناوبری زمینی یک نقطه قوت بسیار مهم بشمار می‌رود. بنابراین در این مقاله، شاخص خطای ناوبری در حالت قطع ارتباط ماهواره‌ای، به عنوان یک معیار اساسی جهت مقایسه دو روش مختلف مورد بحث در تلفیق دو سیستم ناوبری GPS و INS و تعیین میزان مقاومت هریک، مورد بررسی قرار خواهد گرفت. همانطور که نشان داده خواهد شد، در چنین مواقعی روش ارائه شده در [۱۵] می‌تواند راه حل مناسبی برای مساله تخمین حالت در مساله ناوبری باشد.

۳- فیلتر ذره‌ای و الگوریتم پیشنهادی جهت تخمین حالت

همانطور که ذکر شد استفاده از فیلتر کالمن توسعه یافته یک روش متداول در برخورد با مساله تخمین در سیستم‌های غیرخطی و بخصوص در کاربرد ناوبری است [۹-۶]. در اینجا روشی کارا برای حل مساله تخمین در مواجهه با سیستم‌های غیرخطی و غیرگوسی و مقاوم در برابر قطع ارتباط ماهواره‌ای در سیستم تلفیقی ارائه می‌شود. این روش جزء روش‌های آماری مونت کارلو بوده و بر پایه استفاده از قانون اعداد بزرگ است و تابع چگالی احتمال شرطی را به صورت مجموع

استفاده می‌کنیم که در آن θ زاویه فراز رویت ماهواره، R شعاع زمین و h_d و h_w به ترتیب ارتفاع لایه‌های تروپوسفریک مرطوب و خشک، T دما، p فشار محلی و pe فشار جزئی بخار آب می‌باشند [۱۶]. پارامترهای تقریبی این مدل نیز طبق جدول (۲) فرض می‌شوند.

$$\Delta_{tropo}(\theta) = 10^{-6} \{ N_d^{tropo} \{ \sqrt{(R+h_d)^2 - R^2 \cos^2(\theta)} - R \sin(\theta) \} + N_w^{tropo} \{ \sqrt{(R+h_w)^2 - R^2 \cos^2(\theta)} - R \sin(\theta) \} \} \quad (13)$$

جدول ۲: پارامترهای مدل خطای تروپوسفریک

| نام پارامتر | مقدار |
|---------------|-------------------------------------|
| R | ۶۳۶۷/۴۳ کیلومتر |
| h_w | ۱۱۰۰۰ متر |
| h_d | $148/72(T-273/16)+40/136$ |
| N_w^{tropo} | $-\frac{12/96}{T} pe + 710/471 T^2$ |
| N_d^{tropo} | $\frac{pe}{77/64 T}$ |

شبه‌فاصله‌ها و معادله مربوط به بردار اندازه‌گیری: در این مقاله ناوبری صرفاً بر اساس اندازه‌گیری شبه‌فاصله‌ها انجام می‌پذیرد. شبه‌فاصله‌ها بصورت فاصله نسبی بین هریک از ماهواره‌ها با جسم متحرک که توسط منابع خطا از مقدار واقعی منحرف می‌شوند، توسط روابط ۱۴ الی ۱۶ بیان می‌شود.

$$\rho_i = \sqrt{(X_{si} - X_m)^2 + (Y_{si} - Y_m)^2 + (Z_{si} - Z_m)^2} + c\delta_i + \Delta_{tropo}(\theta_i) + \eta_i$$

$$\theta_i = \frac{\pi}{2} - \text{Arc cos} \left\{ \frac{X_m(X_{si} - X_m) + Y_m(Y_{si} - Y_m) + Z_m(Z_{si} - Z_m)}{\sqrt{(X_{si} - X_m)^2 + (Y_{si} - Y_m)^2 + (Z_{si} - Z_m)^2}} \right\} \times \frac{1}{\sqrt{X_m^2 + Y_m^2 + Z_m^2}}$$

$$\begin{pmatrix} X_m \\ Y_m \\ Z_m \end{pmatrix} = \begin{pmatrix} (R_\phi + h) \cos(\lambda) \cos(\phi) \\ (R_\phi + h) \cos(\lambda) \sin(\phi) \\ (R_\phi(1 - e^2) + h) \sin(\lambda) \end{pmatrix} \quad (14-16)$$

در این روابط C سرعت نور، δ_i بایاس ساعت گیرنده، θ_i زاویه فراز رویت ماهواره i ام، η_i نویز اندازه‌گیری، (X_{si}, Y_{si}, Z_{si}) مختصات ماهواره i ام و (X_m, Y_m, Z_m) مختصات گیرنده در چارچوب

⁹ Earth Centered Earth Fixed

\hat{B}_w معکوس مور-پنرس ماتریس B_w می‌باشد. اکنون می‌خواهیم $P(x_{k+1} | y_{1:k+1})$ را بدست آوریم. فرض می‌کنیم y_{k+1} از طریق اندازه‌گیری در دسترس است. طبق قاعده بیز:

$$P(x_{k+1} | y_{1:k+1}) = \frac{P(y_{k+1} | x_{k+1})P(x_{k+1} | y_{1:k})}{P(y_{k+1} | y_{1:k})} \quad (23)$$

$P(x_{k+1} | y_{1:k})$ از طریق رابطه (۲۱) قبلاً حساب شد. $P(y_{k+1} | x_{k+1})$ هم از طریق مدل اندازه‌گیری مشابه رابطه (۲۲) توسط رابطه (۲۴) حساب می‌شود.

$$P(y_{k+1} | x_{k+1}) = P_{v_{k+1}}(z_{k+1} - h(x_{k+1})) \quad (24)$$

مخرج کسر هم طبق رابطه (۲۵) بدست می‌آید.

$$P(y_{k+1} | y_{1:k}) = \int P(y_{k+1} | x_{k+1})P(x_{k+1} | y_{1:k})dx_{k+1} \quad (25)$$

بنابراین در مرحله بروز کردن با توجه به روابط ذکر شده، $P(x_{k+1} | y_{1:k+1})$ محاسبه می‌شود. انجام این دو مرحله بصورت بازگشتی منجر به یافتن کلی ضرایب بیز و تابع مجهول $P(x_k | y_{1:k})$ و حل مساله تخمین می‌شود. توجه شود که جواب بدست آمده گرچه دقیق است و هیچ نوع تقریبی در آن بکار نرفته است، ولی بدلیل بعد نامحدود فیلتر تخمین‌گر، عملاً قابل پیاده‌سازی نیست. روش مورد استفاده جهت تقریب رابطه بدست آمده در تعداد گام محدود، استفاده از فیلتر ذره‌ای به شرح زیر است:

اگر نمونه‌های $\{x_{0:k}^i\}_{i=1}^N$ براساس تابع $q(x_{0:k} | y_{1:k})$ بازسازی شوند^{۱۱}، وزن‌های مربوطه برابر خواهد بود با [۱۱]:

$$\omega_k^i \propto \frac{P(x_{0:k}^i | y_{1:k}^i)}{q(x_{0:k}^i | y_{1:k}^i)} \quad (26)$$

اگر $q(\cdot)$ را بتوان طوری انتخاب کرد که رابطه (۲۷) برقرار باشد، در اینصورت تخمین موردنظر از تابع چگالی احتمال را می‌توان برحسب توابع $P(x_{0:k-1} | y_{1:k-1})$ ، $P(y_k | x_k)$ و $P(x_k | x_{k-1})$ بدست آورد.

$$q(x_{0:k} | y_{1:k}) = q(x_k | x_{0:k-1}, y_{1:k})q(x_{0:k-1} | y_{1:k-1}) \quad (27)$$

این موضوع را در ذیل نشان می‌دهیم:

وزن‌یافته تعدادی تابع گسسته تقریب می‌زند. در [۱۴-۱۱] و [۱۶] بطور مفصل در مورد جزئیات ریاضی موضوع و همگرایی این فیلتر بحث شده است. در اینجا صرفاً نتایج کلی مورد استفاده قرار می‌گیرد. ابتدا به ذکر مبانی ریاضی موضوع پرداخته می‌شود. در خیلی از موارد می‌توان مدل سیستم را به صورت زیر بازنویسی کرد:

$$x_{k+1} = f(x_k, u_k) + B_w w_k \quad (17)$$

$$z_k = h(x_k) + B_v v_k = h(x_k) + \tilde{v}_k \quad (18)$$

این امر صرفاً جهت سادگی نمایش روابط انجام می‌شود. در این صورت: $R_k^v = \tilde{g}_k(x_k)R_k^v \tilde{g}_k^T(x_k)$ که منظور از R_k^v ماتریس کوواریانس نویز است. فرض هم می‌شود که تابع توزیع احتمال فرآیندهای w_k و \tilde{v}_k به ترتیب P_{w_k} و $P_{\tilde{v}_k}$ باشد. هدف پیدا کردن تخمین بهینه یک تابع دلخواه مانند g از عناصر بردار حالت با معیار حداقل بودن واریانس خطاست.

$$\hat{g}(x_k)_{Minimum-Variance} = E[g(x_k) | Y_k] \quad (19)$$

که $Y_k = \{y_1, y_2, \dots, y_k\}$ مجموعه اندازه‌گیری‌هاست. در صورتیکه بتوان تابع توزیع احتمال شرطی $P(x_k | y_{1:k})$ را حساب کرد، تخمین بهینه از طریق رابطه (۲۰) حساب می‌شود. در اینجا به دنبال یافتن روشی بازگشتی برای محاسبه تابع توزیع فوق با در نظر گرفتن بردار اندازه‌گیری شده در هر لحظه می‌باشیم. این تابع توزیع دربرگیرنده کلیه اطلاعات آماری فرآیند X_k که از طریق مشاهده Y_k قابل حصول است، می‌باشد.

$$E[g(x_k) | Y_k] = \int_{\mathcal{X}^n} g(x_k) dP(x_k | Y_k) \quad (20)$$

این روش شامل دو بخش اساسی: ۱- پیش‌بینی و ۲- بروز کردن می‌باشد. در مرحله پیش‌بینی نخست فرض می‌کنیم که تابع $P(x_k | y_{1:k})$ در دسترس است و هنوز مقدار y_{k+1} اندازه‌گیری نشده است. با توجه به رابطه (۱۷) و معادله چاپمن-کومولوگورف خواهیم داشت:

$$P(x_{k+1} | y_{1:k}) = \int P(x_{k+1} | x_k)P(x_k | y_{1:k})dx_k \quad (21)$$

که جمله اول عبارت تحت انتگرال با استفاده از مدل سیستم به این صورت بدست می‌آید:

$$P(x_{k+1} | x_k) = P_{w_k}(\hat{B}_w(x_{k+1} - f(x_k, u_k))) \quad (22)$$

¹⁰ Importance Density Function

¹¹ Importance Sampling

با جایگزینی $q(\cdot)$ بهینه در رابطه (۳۴)، قانون زیر بدست می آید:

$$\begin{aligned} \omega_k^i &\propto \omega_{k-1}^i P(y_k | x_{k-1}^i) \\ &= \omega_{k-1}^i \int P(y_k | x_k') P(x_k' | x_{k-1}^i) dx_k' \end{aligned} \quad (37)$$

این انتخاب ما را دچار ۲ معضل اساسی می کند. یکی اینکه ما نیازمندیم که از تابع $P(x_k | x_{k-1}^i, y_k)$ نمونه برداری کنیم و دیگری اینکه نیاز به انتگرال گیری از حالات گذرای ذرات داریم. بنابراین در خیلی از موارد بکاربردن مستقیم رابطه (۳۷) برای بدست آوردن $q(\cdot)$ بهینه، چندان عملی نیست. در نهایت در اغلب موارد $q(\cdot)$ را به شکل (۳۸) انتخاب می کنند و رابطه متناظر برای بروز کردن وزن ها طبق (۳۹) بدست می آید.

$$q(x_k | x_{k-1}^i, y_k) = P(x_k | x_{k-1}^i) \quad (38)$$

$$\omega_k^i \propto \omega_{k-1}^i P(y_k | x_k^i) \quad (39)$$

در نهایت الگوریتم زیر جهت مساله تخمین ارائه می گردد:

۱- بردار تصادفی $\{\tilde{x}_0^1, \tilde{x}_0^2, \dots, \tilde{x}_0^N\}$ با توجه به توزیع مفروض $P(x_0 | y_0) = P(x_0)$ انتخاب می شوند. هر کدام از این N بردار یک ذره نامیده می شود.

۲- مجموعه $\{\tilde{x}_k^1, \tilde{x}_k^2, \dots, \tilde{x}_k^N\}$ به دینامیک (۱۷) اعمال و $\{\tilde{x}_{k+1}^1, \tilde{x}_{k+1}^2, \dots, \tilde{x}_{k+1}^N\}$ با توجه به آن بدست می آید.

۳- طبق [۱۴]، اگر توزیع \tilde{v}_k گوسی باشد، انتخاب بهینه وزن های $\{\omega_k^i\}_{i=1}^N$ بر اساس روابط زیر می باشد:

$$\omega_k^i = \frac{Z_k^i}{\sum_{j=1}^N Z_k^j} \quad (40)$$

$$Z_k^i(x, y) = \frac{\exp\left\{-\frac{1}{2} \sum_{j=1}^k \gamma^{k-j} \|y_j - h(\tilde{x}_j^i)\|_{R^{\bar{v}}}^2\right\}}{\exp\left\{-\frac{1}{2} \sum_{j=1}^k \gamma^{k-j} \|y_j\|_{R^{\bar{v}}}^2\right\}} \quad (41)$$

به طوریکه: $\|a\|_{R^{\bar{v}}}^2 = a^T [R^{\bar{v}}]^{-1} a$, $a \in R^m$ و $\gamma \in (0, 1)$ یک ضریب فراموشی و m بعد بردار خروجی است.

۴- با توجه به محاسبه وزن ها، مقادیر تخمینی در گام k ام طبق روابط (۴۲-۴۳) محاسبه می شوند.

$$\hat{P}(x_k | y_{1:k}) = \sum_{i=1}^N \omega_k^i \delta(x_k - \tilde{x}_k^i) \quad (42)$$

$$\begin{aligned} P(x_{0:k} | y_{1:k}) &= \frac{P(y_k | x_{0:k}, y_{1:k-1}) P(x_{0:k} | y_{1:k-1})}{P(y_k | y_{1:k-1})} \\ &= \frac{P(y_k | x_{0:k}, y_{1:k-1}) P(x_k | x_{0:k-1}, y_{1:k-1})}{P(y_k | y_{1:k-1})} \\ &\quad \times P(x_{0:k-1} | y_{1:k-1}) \\ \Rightarrow P(x_{0:k} | y_{1:k}) &= \frac{P(y_k | x_k) P(x_k | x_{k-1})}{P(y_k | y_{1:k-1})} \times P(x_{0:k-1} | y_{1:k-1}) \\ \Rightarrow P(x_{0:k} | y_{1:k}) &\propto \\ P(y_k | x_k) P(x_k | x_{k-1}) &\times P(x_{0:k-1} | y_{1:k-1}) \end{aligned} \quad (28-30)$$

با جایگزین کردن ۲ رابطه اخیر در معادله (۲۶)، فرم بازگشتی لازم برای محاسبه وزن ها را بدست می آوریم.

$$\omega_k^i \propto \frac{P(y_k | x_k^i) P(x_k^i | x_{k-1}^i) \times P(x_{0:k-1}^i | y_{1:k-1})}{q(x_k^i | x_{0:k-1}^i, y_{1:k}) q(x_{0:k-1}^i | y_{1:k-1})} \quad (31)$$

$$\Rightarrow \omega_k^i = \beta \omega_{k-1}^i \frac{P(y_k | x_k^i) P(x_k^i | x_{k-1}^i)}{q(x_k^i | x_{0:k-1}^i, y_{1:k})} \quad (32)$$

به علاوه اگر فرض شود:

$$q(x_k | x_{0:k-1}, y_{1:k}) = q(x_k | x_{k-1}, y_k) \quad (33)$$

آنگاه تابع $q(\cdot)$ تنها به مقادیر x_{k-1} و y_k بستگی پیدا می کند و در سیستم پردازشگر تنها کفایت که تنها تکامل x_k^i و نه $x_{0:k-1}^i$ و $y_{1:k-1}$ ذخیره شود ($i = 1, 2, \dots, N$). در نتیجه قانون اصلاح شده بروز کردن وزن ها به این فرم بازنویسی می شود:

$$\omega_k^i \propto \omega_{k-1}^i \frac{P(y_k | x_k^i) P(x_k^i | x_{k-1}^i)}{q(x_k^i | x_{k-1}^i, y_k)} \quad (34)$$

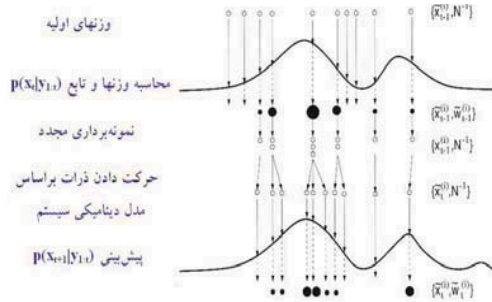
و تخمین موردنظر برابر خواهد بود با:

$$P(x_k | y_{1:k}) = \lim_{N \rightarrow \infty} \sum_{i=1}^N \omega_k^i \delta(x_k - x_k^i) \quad (35)$$

تنها نکته مهم باقیمانده نحوه انتخاب تابع $q(\cdot)$ است که در اینجا به آن اشاره می شود. مهم ترین معیار برای انتخاب این تابع، حداقل شدن واریانس مجموعه وزن ها به منظور کاهش خطای تخمین و افزایش تعداد ذرات موثر می باشد. در [۱۱] این مقدار بهینه به این صورت معرفی شده است:

$$\begin{aligned} q(x_k | x_{k-1}^i, y_k)_{Optimal} &= P(x_k | x_{k-1}^i, y_k) \\ &= \frac{P(y_k | x_k, x_{k-1}^i) P(x_k | x_{k-1}^i)}{P(y_k | x_{k-1}^i)} \end{aligned} \quad (36)$$

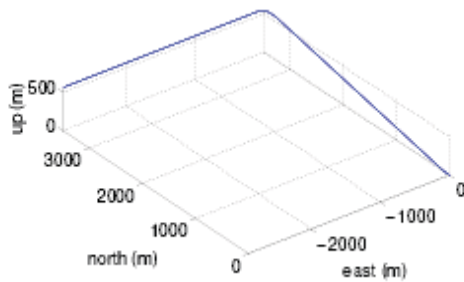
به شرط کافی بودن تعداد ذرات می‌باشد. در نهایت مراحل کلی الگوریتم فیلتر ذره‌ای را می‌توان در شکل (۲) مشاهده کرد.



شکل ۲: شمای کلی تخمین حالت توسط فیلتر ذره‌ای

۴- نتایج شبیه‌سازی

برای انجام شبیه‌سازی و کسب مقادیر عددی از نسخه آموزشی برنامه PROGEN و SatNav ارائه شده توسط GPSsoft استفاده شد [۱۷]. در این برنامه یک پروفایل حرکتی کند با دینامیک پایین و به طول ۱۱ دقیقه تولید و شبه‌فاصله‌ها، مقادیر خوانده شده توسط ژيروسکوپ‌ها و شتاب‌سنج‌ها و داده‌های مکانی مربوطه برای چهار ماهواره قابل رویت ارائه می‌شود. نمونه‌گیری واحد IMU با فرکانس ۱۰ Hz و خواندن مقدار شبه‌فاصله‌ها با فرکانس ۱ Hz صورت می‌پذیرد.



شکل ۳: پروفایل مسیر پرواز با دینامیک پایین

پارامترهای عددی مورد استفاده برای مدلسازی نیز به صورت زیر انتخاب شدند. این پارامترها یک واحد IMU ارزان قیمت با دقت متوسط را مدل می‌کند.

$$\hat{g}(x_k) = \sum_{i=1}^N \omega_k^i g(x_k^i) \quad (43)$$

۵- تعداد ذره‌های موثر حساب شود:

$$N_{eff} = \frac{1}{\sum_{i=1}^N (\omega_k^i)^2} \quad (44)$$

در صورتیکه رابطه: $(N_{th} = \frac{2N}{3})$ $N_{eff} \leq N_{th}$ برقرار باشد، الگوریتم نمونه‌گیری مجدد^{۱۲} اجرا شده و وزن‌ها به مقادیر:

$$\left\{ \omega_k^i \right\}_{i=1}^N = \frac{1}{N}$$

۶- با مراجعه به مرحله ۲ این روند تا رسیدن به دقت موردنظر مجدداً تکرار شود.

یکی دیگر از مسائل مهمی که به هنگام استفاده از این روش باید مورد توجه قرار گیرد، انتخاب بهینه N است. در [۱۱] ثابت شده است که انتخاب وزن‌ها طبق رابطه‌ای معادل با روابط (۴۰-۴۱)، موجب افزایش تعداد ذره‌های موثر و در نتیجه افزایش سرعت همگرایی می‌شود. هرچه تعداد ذره‌ها کمتر باشد، هزینه محاسباتی مساله کمتر است در عوض خطای تخمین بیشتر خواهد شد. اصولاً هر چه واریانس وزن‌های: $\left\{ \omega_k^i \right\}_{i=1}^N$ بیشتر باشد، تعداد موثر ذره‌ها کمتر می‌شود. در اینگونه موارد توسط الگوریتم نمونه‌گیری مجدد، ذره‌هایی که وزن متناظر با آنها بزرگ است هر یک به چند ذره با وزن نرمالیزه شده:

$$\left\{ \omega_k^i \right\} = \frac{1}{N}$$

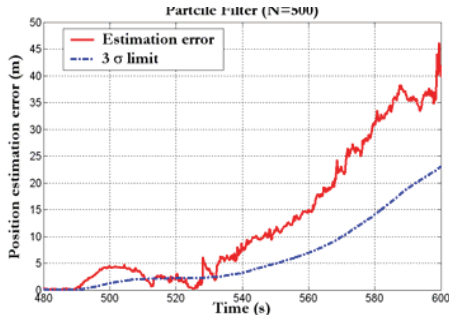
وزن متناظر با آنها کوچک است، تقریباً حذف می‌شوند. در عین حال تابع توزیع ناشی از ذرات قبل و بعد از این زیروال تقریباً ثابت خواهد ماند. برای نمونه‌گیری مجدد از روش ارائه شده در [۱۱] استفاده شد.

در صورت حذف مرحله ۵، پس از چند مرحله از بروز کردن وزن‌ها، نسبت وزن برخی از ذره‌ها نسبت به برخی دیگر بسیار کوچک شده و تدریجاً به سمت صفر میل می‌کند که این بدان معنی است که عملاً تعدادی از ذره‌ها تاثیر چندانی در معادلات (۴۲-۴۳) ندارند و هزینه محاسباتی بی‌بهره‌ای صرف بروز کردن وزن‌های آنها می‌شود (مشکل پراکندگی عددی وزن‌ها).

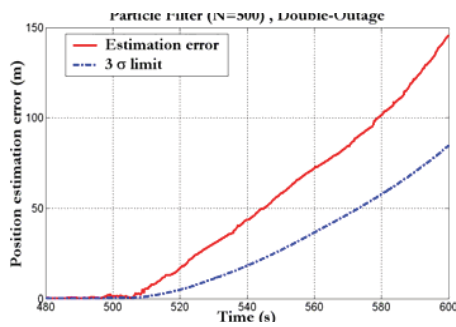
انتخاب ضریب فراموشی γ هم در مرحله ۳ جهت تضمین همگرایی یکنواخت $\hat{P}(x_k | y_{1:k})$ به مقدار واقعی آن با افزایش زمان

¹² Resampling Algorithm

شرایط بحرانی با دقت نسبتاً مطلوب مورد استفاده قرار گیرد. البته با کاهش تعداد ماهواره‌ها، طبق شکل (۶)، کم کم اثر ناپایداری در فیلتر ذره‌ای نیز مشاهده می‌شود.



شکل ۵: خطای تخمین مکان با فرض رویت ۳ ماهواره توسط فیلتر ذره‌ای به ازای $N=500$.



شکل ۶: خطای تخمین مکان با فرض رویت ۲ ماهواره توسط فیلتر ذره‌ای به ازای $N=500$.

نکته مهم در این دو شکل این است که در هر دو مورد در ابتدای بازه بحرانی، خطا در محدوده قابل قبولی قرار دارد که با توجه به اینکه عموماً موانع در ناوبری شهری، صرفاً در مقاطع زمانی کوتاهی ظاهر می‌شوند، روش فوق می‌تواند جایگزین خوبی برای روش متداولی چون فیلتر کالمن در چنین لحظاتی باشد. همین آزمایش به ازای تعداد ذرات ۲۰۰ و ۱۰۰۰ نیز انجام شد که نتایج در اشکال (۷) و (۸) مشاهده می‌شود.

$$a_{acc} = a_{gyro} = 0.0015$$

$$a_{clock} = 0.002$$

$$T = 300 \text{ K}$$

$$\sum w^{b_{acc}} = 4/90.5 \times 10^{-4} I$$

$$P = 1/0.13 \text{ bar}$$

$$\sum w^{b_{gyro}} = 0.09 I$$

$$pe = 35 \text{ mbar}$$

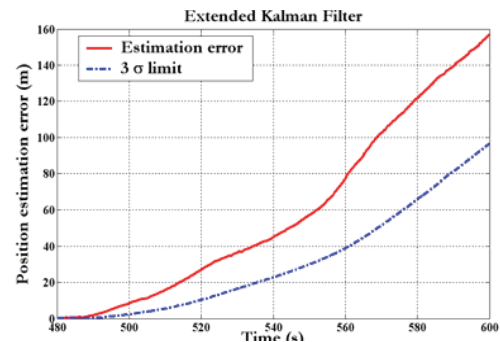
$$\sum w^{x} = 10^{-5} I$$

$$\sigma_{w^x} = 10^{-12} I$$

تعداد ذره‌ها هم با سعی و خطا ۵۰۰ انتخاب شد که توجه به پروفایل جسم متحرک که فاقد تغییرات خیلی سریع است، این تعداد کافی بنظر می‌رسد. البته جهت مقایسه عددی تعداد ذرات دیگری هم بررسی شد که در ادامه به آن اشاره خواهد شد. همچنین فرض شد: $\gamma = 0.98$ و بردار حالت نیز به فرم زیر انتخاب گردید:

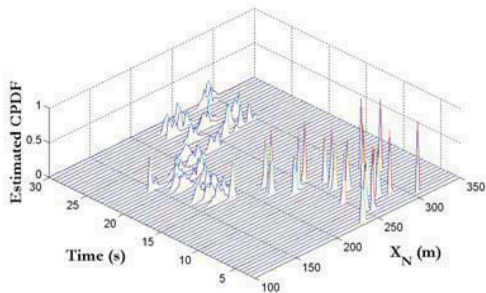
$$x = [X_N, X_E, X_D, V_N, V_E, V_D, roll, pitch, turn, b_a, b_g, b_w, b_p, b_r, x_r, \delta]$$

جهت ارزیابی و مقایسه، صرفاً حالت بحرانی در نظر گرفته می‌شود، بنابراین فرض می‌کنیم که در ثانیه ۱۴۸۰م یک ماهواره از افق دید گیرنده خارج می‌شود. در این حالت همانطور که در شکل (۴) دیده می‌شود، تخمین انجام شده توسط فیلتر کالمن، به سرعت و بفرم تقریباً نامایی، واگرا می‌شود و خطای تخمین در انتهای بازه بحرانی اصلاً قابل قبول نیست. این امر قابل پیش‌بینی بود و لذا معضل عدم رویت ماهواره‌ها یکی از مواردیست که عملکرد فیلتر کالمن در مقوله ترکیب اطلاعات سیستم ناوبری را به شدت مخدوش می‌کند. نقطه صفر محور زمان در این نمودار، منطبق بر شروع لحظه بحرانی و ثانیه ۱۴۸۰م است.

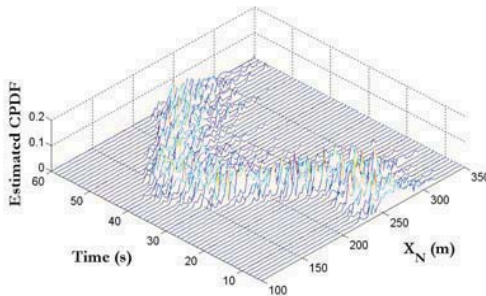
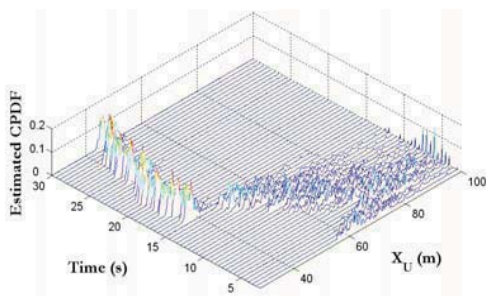


شکل ۴: خطای تخمین مکان با فرض رویت ۳ ماهواره توسط فیلتر کالمن توسعه یافته

این امر درحالیست که طبق شکل (۵) خطای روش پیشنهادی بسیار کمتر از فیلتر کالمن توسعه یافته است و می‌تواند جهت ناوبری در

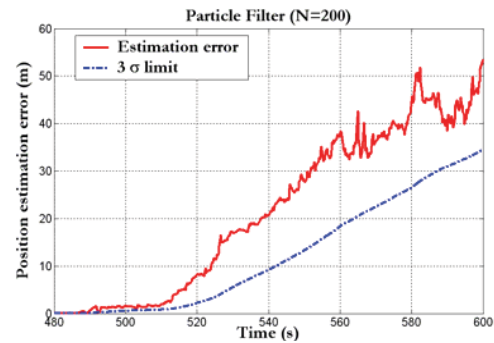


شکل ۹: تخمین تابع چگالی احتمال X_U و X_N در ۶۰ ثانیه اول حرکت به ازای $N=100$

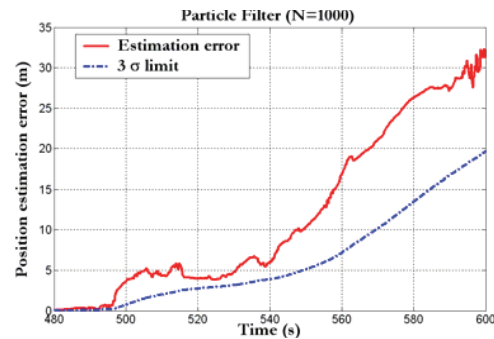


شکل ۱۰: تخمین تابع چگالی احتمال X_U و X_V در ۶۰ ثانیه اول حرکت به ازای $N=1000$

بالاخره آزمایش قطع ارتباط ماهواره‌ای برای ۴ مقدار متفاوت N انجام شد. مقادیر عددی متوسط و انحراف استاندارد خطای تخمین مکان در بازه بحرانی ذکر شده در جداول (۳) و (۴) آمده است. اختلاف عملکرد دو فیلتر با مقایسه اعداد، به خوبی قابل برداشت است. توجه شود که در عمل ممکن است در خیلی موارد حالت بحرانی پیش نیاید و تعداد ماهواره‌های تحت رویت، کمتر از مقدار بحرانی ۴ نشود و مثلاً ۸ یا ۹ ماهواره قابل رویت باشد. لیکن جهت اطمینان از حفظ عملکرد سیستم ناوبری شهری، در نظر گرفتن چنین شرایط خاصی الزامی است.

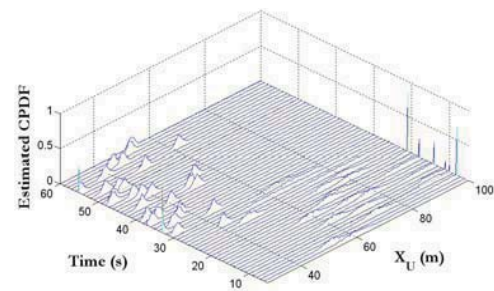


شکل ۷: خطای تخمین مکان با فرض رویت ۳ ماهواره توسط فیلتر ذره‌ای به ازای $N=200$



شکل ۸: خطای تخمین مکان با فرض رویت ۳ ماهواره توسط فیلتر ذره‌ای به ازای $N=1000$

در اشکال (۹) و (۱۰) نیز فرم زمانی تخمین تابع چگالی احتمال شرطی در X_U و X_V به عنوان دو عضو از عناصر بردار حالت در ۶۰ ثانیه اول حرکت به ازای دو حالت اخیر رسم شده است که افزایش وضوح فیلتر در حالت دوم کاملاً مشهود می‌باشد.



جدول ۵: مقایسه حجم محاسبات مورد نیاز فیلتر ذره‌ای بر حسب شاخص فیلتر کالمن توسعه یافته در حالت‌های بررسی شده

| تعداد ذرات | ۱۰۰ | ۲۰۰ | ۵۰۰ | ۱۰۰۰ |
|----------------|------|-------|-------|-------|
| تعداد فلاپس‌ها | ۴/۹۳ | ۱۰/۲۲ | ۲۶/۷۸ | ۵۵/۰۴ |

۵- نتیجه‌گیری

با توجه به شبیه‌سازی‌های انجام شده، ملاحظه شد که در حالتی که تعداد ماهواره‌های قابل رویت کمتر از حداقل تعداد مورد نیاز برای مکان‌یابی ۳ بعدی می‌باشد، استفاده از فیلتر ذره‌ای برای تخمین حالت در سیستم ناوبری عملکرد مطلوبی دارد و خطا حداقل برای مدت مناسبی، محدود باقی می‌ماند درحالی‌که فیلتر کالمن سریعاً واگرا می‌شود. البته در حالت عادی و مشاهده همان حداقل ۴ ماهواره، می‌توان از فیلتر کالمن توسعه یافته استفاده کرد، ولی بلافاصله در زمانی که تعداد ماهواره‌های قابل رویت از حد مجاز کمتر شد، از الگوریتم پیشنهادی استفاده کرد.

البته همانطور که ذکر شده، این روش به توان محاسباتی بیشتری احتیاج دارد و زیاد بودن تعداد حالت‌ها در برخی موارد، امکان پردازش همزمان را در کاربردهای عملی سلب می‌کند که این مشکل با افزایش سرعت پردازشگرهای الکترونیکی تقریباً حل شده فرض می‌شود.

از طرفی این روش در مواجهه با سیستم‌هایی با درجه غیرخطی بالا، مستقیماً و بدون خطی‌سازی و صرفاً بر اساس مدل واقعی سیستم، بهینه‌سازی را انجام می‌دهد. در نتیجه می‌توان انتظار عملکرد کاملاً مطلوب‌تری نسبت به فیلتر کالمن توسعه یافته را متصور بود. این نکته به این دلیل ذکر شد که در دینامیک‌های شدید پروازی، مدل سیستم تلفیقی GPS/SDINS به شدت پیچیده‌تر از آنچه در این شبیه‌سازی مورد استفاده قرار گرفت، بوده و خطی‌سازی آن کار نسبتاً دشواری می‌باشد. پس در عمل می‌توان به ارزش روش بیان شده و برتری‌های آن بخصوص در موارد بحرانی نسبت به روش متداولی چون فیلتر کالمن توسعه یافته پی‌برد.

مراجع

- [1] M. Hilberg and T. Jacob, "High accuracy navigation and landing system using GPS/IMU system integration", *IEEE AES Systems Magazine*, pp. 11-17, July 1998.
- [2] J. F. Wagner and T. Wieneke Integrating, "Integrating satellite and inertial navigation-conventional and new fusion approaches", Elsevier

جدول ۳: خطای تخمین مکان با فرض رویت ۳ ماهواره (متر)

| خطای متوسط | خطای انحراف استاندارد خطا | | |
|------------|---------------------------|-------------------------|--------------|
| ۲۶/۲۷ | ۲۲/۸۴ | $N=100$ | فیلتر ذره‌ای |
| ۲۱/۷۰ | ۱۶/۹۴ | $N=200$ | |
| ۱۲/۹۱ | ۱۲/۷۳ | $N=500$ | |
| ۱۱/۸۹ | ۱۰/۱۱ | $N=1000$ | |
| ۵۹/۱۹۵ | ۴۸/۶۴۴ | فیلتر کالمن توسعه یافته | |

جدول ۴: خطای تخمین مکان با فرض رویت ۲ ماهواره (متر)

| خطای متوسط | خطای انحراف استاندارد خطا | | |
|------------|---------------------------|-------------------------|--------------|
| ۱۴۶/۶۷ | ۱۳۷/۱۷ | $N=100$ | فیلتر ذره‌ای |
| ۹۸/۳۱ | ۹۰/۱۸ | $N=200$ | |
| ۵۰/۵۱ | ۴۰/۰۸ | $N=500$ | |
| ۴۲/۱۲ | ۳۶/۵۹ | $N=1000$ | |
| ۳۷۱/۶۴ | ۳۲۴/۳۵ | فیلتر کالمن توسعه یافته | |

بدیهی می‌باشد که در حالت عادی و غیربحرانی نیز میزان صحت فیلتر ذره‌ای به مراتب از فیلتر کالمن بیشتر است (البته به شرط انتخاب تعداد ذرات کافی)، که در اینجا این امر مورد بحث ما نیست [۱۶]. اما هزینه این افزایش صحت در عملکرد سیستم ناوبری، زیاد شدن بار محاسباتی مساله است. اجرای کل برنامه تخمین فیلتر ذره‌ای در طول زمان ۱۱ دقیقه‌ای ناوبری بر روی یک PC با پردازنده AMD Athlon XP 1800+ و حافظه 512 MB (DDR 400 MHz) و به ازای $N=500$ ، حدود ۸۹/۹۷ ثانیه بطول انجامید. همین آزمایش برای فیلتر کالمن حدود ۳/۴۵۳ ثانیه طول کشید.

مقایسه حالت‌های بررسی شده طبق معیار فلاپس در برنامه MATLAB که ارتباط بسیار نزدیکی با توان پردازشی مورد نیاز الگوریتم دارد، در جدول (۵) نشان داده شده است. در این حالت تعداد فلاپس‌های مورد استفاده توسط فیلتر کالمن توسعه یافته به عنوان معیار، برابر واحد فرض شده است.

- Electronic Systems, vol 33, no. 3, pp. 835-850, July 1997.
- [11] S. Arulampalam, S. Maskell, N. Gordon and T. Clapp, "A tutorial on particle filters for on-line non-linear/non-gaussian bayesian tracking", IEEE Transactions on Signal Processing, vol 50, no 2, pp. 174-188, February 2002.
- [12] C. Hue, J. P. Le Cadre and P. Pérez, "Sequential monte carlo methods for multiple target tracking and data fusion", IEEE Transactions on Signal Processing, vol. 50, no. 2, pp. 309-325, February 2002.
- [13] J. H. Kotecha and P. M. Djuric, "Gaussian particle filtering", IEEE Transactions on Signal Processing, vol 51, no 10, pp. 2592- 2601, October 2003.
- [14] B. Azimi Sadjadi and P. S . Krishnaprasad, "Approximate nonlinear filtering and its application in navigation", Ph.D. Dissertation, Department of Electrical Engineering, Maryland University, College Park, 2001.
- [۱۵] علی اسدیان، بهزاد مشیری و علی خاکی صدیق، "بهبودسازی غیرخطی با کمک فیلترهای ذره‌ای در سیستم تلفیقی GPS/INS در شرایط بحرانی"، سیزدهمین کنفرانس مهندسی برق ایران، مجموعه مقالات کنترل و مهندسی پزشکی، ص. ۹۳ الی ۹۹، ۲۰ الی ۲۲ اردیبهشت، زنجان، ایران.
- [۱۶] علی اسدیان، "ارزیابی روش‌های کلاسیک و هوشمند ترکیب اطلاعات در سیستم تلفیقی GPS/INS"، پایان‌نامه کارشناسی ارشد مهندسی برق-کنترل، دانشکده برق و کامپیوتر دانشگاه تهران، ۱۳۸۴.
- [17] <http://www.gpssoftnav.com>
- Journal of Control Engineering Practice 11, pp. 543-550, 2003.
- [3] J. A. Farrel, and M. Barth, "The global positioning system and inertial navigation", McGraw-Hill, 1999.
- [4] X. He, Y. Chen and H.B.Iz, "A reduced-order model for integrated GPS/INS", IEEE AES Systems Magazine, pp. 40-45, March 1998.
- [5] S. Nasser, "Improving the inertial navigation system (INS) error model for INS and INS/DGPS applications", Ph.D. Dissertation, Department of Geomatics Engineering, Calgary University, Alberta, CA, November 2004.
- [6] G. Welsh and G. Bishop, "An introduction to the Kalman filter", SIGGRAPH 2001, Course 8, Aug. 2001.
- [7] F. A. Faruqi and K. J. Turner, "Extended Kalman filter synthesis for integrated global positioning/inertial navigation systems", Elsevier Journal of Applied Mathematics and Computation 115, pp. 213-227, 2000.
- [8] D. M. Mayhew, "Multi-rate Sensor Fusion for GPS Navigation Using Kalman Filtering", M.S. Thesis in Electrical Engineering, Virginia Polytechnic Institute and State University, May 1999.
- [9] C. Hide, T. Moore and M. Smith, "Adaptive Kalman filtering for low-cost INS/GPS", Journal of Navigation, pp. 143-152, Cambridge University Press, 2003.
- [10] H. Carvalho, P. Del Moral, A. Monin and G. Salut, "Optimal nonlinear filtering in GPS/INS integration", IEEE Transactions on Aerospace